

港湾技研資料

TECHNICAL NOTE OF
THE PORT AND HARBOUR RESEARCH INSTITUTE
MINISTRY OF TRANSPORT, JAPAN

No. 121 June 1971

小名浜港第2ケーションヤード機械設備実験報告

正生明夫
和尚照保浩次
山田口鳥塚
麻岩守白石
和田口白石

運輸省港湾技術研究所



小名浜港第2ケーンヤード機械設備試験報告

目 次

要 旨

1. まえがき	3
2. ケーンヤード機械設備概要	3
3. 試験概要	4
4. 試験結果	5
4.1 横引力測定結果	5
4.2 進水力測定結果	7
4.3 進水台車車軸応力測定	8
4.4 衝撃音について	10
5. 横引力理論計算	12
6. あとがき	15

**A report on the caisson yard No. 2 of the Onahama Port
Construction Office**

Kazumasa ASAYAMA*
Hisao IWATA **
Teruaki MORIGUCHI***
Yasuo SHIRATORI****
Koji ISHIZUKA ***

Synopsis

In this report authors tried to show their experiment curried out in the Onahama Port Construction Office caisson yard No.2, where has 2100 tons caisson construction capacity, to confirm it's safety and to obtain the design data for caisson yards.

Caisson traversing force, launching force and stress on the wheel-axles of the launching truck were measured in this experiment. From these measurements it was cleared that designed values were agreed pretty well with measured ones, and that the stress on the wheel-axles happened to change with the rail conditions.

In this report theoretical calculation on the unsteadiness of traversing force was tried also.

* Chief, Dredger and Construction Equipment Laboratory

** Senior Researcher, Dredger and Construction Equipment Laboratory

*** Member of Dredger and Construction Equipment Laboratory

**** Member of Working Craft Development Laboratory

小名浜港第2ケーンヤード機械設備試験報告

麻山和正*
岩田尚生**
守口照明***
白鳥保夫****
石塚浩次***

要旨

この報告書は 2100 ton ケーンヤードにおける機械装置について安全性の確認、また今後の同様な設備の設計資料を得るために現地において実施した試験結果を紹介したものである。試験は第二浩湾建設局小名浜港工事事務所第2ケーンヤードの機械設備について実施し、ケーン引出し時の横引力、進水力、進水台車車軸応力を測定した。測定結果は設計値と良く一致していたが、進水台車の車軸応力はレールの状態によって変化していることがわかった。

またこの報告書においては横引力の変動に対して理論計算を行っている。

1. まえがき

最近の港湾事業量の増大に伴い新たな港湾の開発の必要性が生じ、その規模も大型化してきている。それに従って港湾開発のための建設設備も大型のものが必要となり、特にケーン製作設備はその傾向が見られる。またそれに付随する機械設備を新たなものが製作、使用されるようになつた。

このようにその規模が大型化にするにつれ、機械設備の計画、設計に際しては土木工事とも連携させて安全性、経済性等十分な考慮が必要になってくる。一方、これらの基礎資料は現地において実際の設備について調査して得ることが望ましく、当研究所機材部においてもこれまでに3回ほど他のケーンヤードの機械設備について実施してきている。今回的小名浜港第2ケーンヤードの現地試験も上記と関連したものであり、実際の稼働状態における安全性を検討するとともに、今後の設計参考資料を得るために実施した。小名浜第2ケーンヤードは最大 2100 ton のケーン製作能力を持つが、今回の試験のケーンの重量は約 1640 ton で、このケーンを製作台から進水斜路までの横引力、ケーンが進水する時の進水力、進水台車の車軸応力をひずみ応力測定により行った。測定数は 3 回のケーンの横引、進水に対して実施し、ほぼ満足する結果を得た。

この報告書においては上記の測定結果を述べるとともに、横引力の理論計算を行い今後の参考資料とした。

2. ケーンヤード機械設備概要

小名浜港第2ケーンヤードは昭和45年に築造され、

小名浜港の拡張に伴う外防波堤のケーン製作に使用されている。その機械設備概要は次のとおりである。

(1) 進水台車

(1) 最大積載ケーン重量	2100 ton
(2) 台車長さ	17.5 m
(3) 高さ	
陸側レール面から	1.10 m
海側レール面から	2.80 m
(4) 主桁幅	1.1 m
(5) 主桁中心距離(レールゲージ)	8 m
(6) レールスパン	0.8 m
(7) 車輪数	96個

図-1 に進水台車を示す。

(2) 主ウインチ(直巻)

(1) 卷上荷重	6.7 ton
(2) 卷下荷重	2.25 "
(3) 卷上速度	24m/min
(4) 卷下速度	24~120 "
(5) モータ出力	37 kW
(6) 速度制御	渦流ブレーキ方式

(3) 横引ウインチ(直巻)

(1) 横引荷重	8 ton
(2) 横引速度	14m/min
(3) モータ出力	30 kW

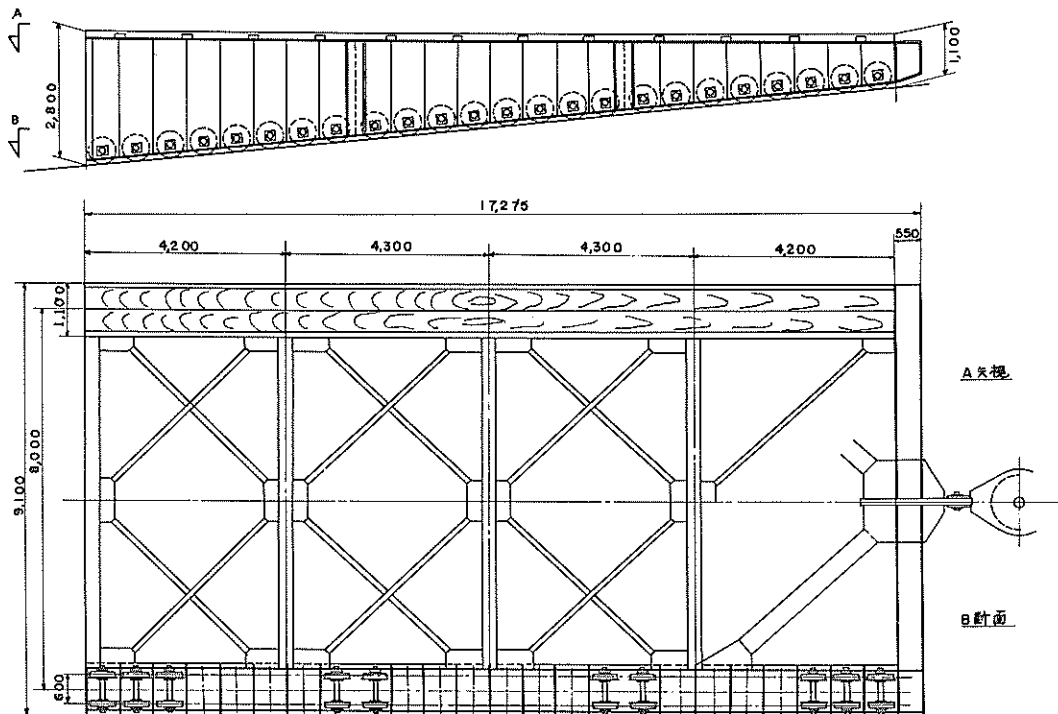
図-2 に小名浜港第2ケーンヤードを示す。

* 機材部 作業船研究室長

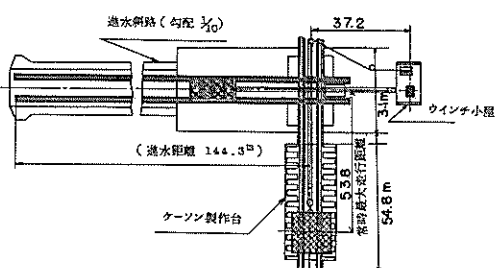
*** 作業船研究室

** 主任研究官

**** 特殊作業船開発室



図一 1 進水台車



図二 2 ケソンヤード概略図

3. 試験概要

試験は機械設備の適当な箇所を選びひずみゲージを貼付し、応力を動ひずみ測定器を通じてオシログラフに記録させ行った。その際の記録は安全性を確認する観点から横引、進水とも全行程で行って行い、最大荷重、応力を求めるようにした。試験項目、内容を下記に示す。

1) 横引張力測定試験

ケソン製作台からケソンを進水斜路まで引出す場合の台車はトラバーサによるクレードルにより行なわれている。その間の横引張力測定はケソン側ブロックの平行部と

ポスト側ブロック側板にゲージを貼付し、同時測定した。図一3に横引力を測定したゲージ貼付箇所を示す。また、巻取ワインチモーターの電流計からは横引力によるワインチ荷重を算定し、応力測定による横引力と対応させた。

2) 進水力測定試験

ケソン進水力は $1/10$ 単一勾配の斜路をケソン進水台車によって引降す時の力であり、横引力測定と同じ方法により陸上部からケソン浮上まで測定した。その間の移動スピードは最初 $3 \text{ m}/\text{min}$ から段階的にスピードを増し、浮上近くではフリーランの状態にある。図一4に進水力を測定したアンカーレッジ部とロープエンド金具を示す。

3) 進水台車軸応力測定

進水台車車軸は図一5に示すように台車両サイドとも車軸と台車側板による2点支持の曲げモーメント応力がかかる。車軸応力は車軸カラー中央部の穴から車軸上部にゲージを貼付し、ケソン重量のみによる応力を測定した。この応力測定に際しては進水台車の最大応力の現われる車軸を調べることにより、片側について測定車軸を連続させるようにした。

以上試験は上記の3項目について実施し、その際の測定点数、ゲージ貼付数を表一に示す。

表-1 測定点数、ゲージ貼付数

測定項目	ゲージ貼付箇所	測定点数	ゲージ貼付数
ケーソン横引力	ポスト側ブロック部	2点	4箇所
	ケーソン側ブロック部	1ヶ	2ヶ
ケーソン進水力	ロープエンド部	2ヶ	4ヶ
	アンカーレッジ部	2ヶ	4ヶ
進水台車軸応力	右側車軸	10ヶ	10ヶ

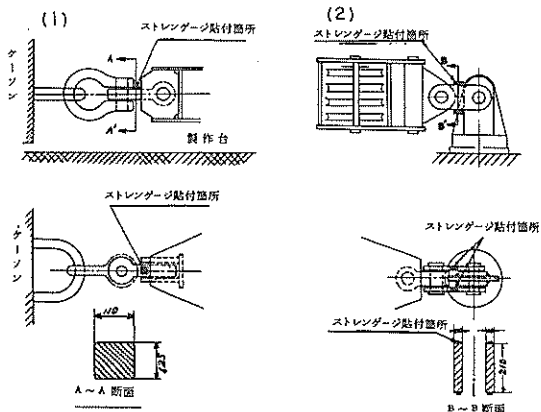


図-3 横引力測定箇所

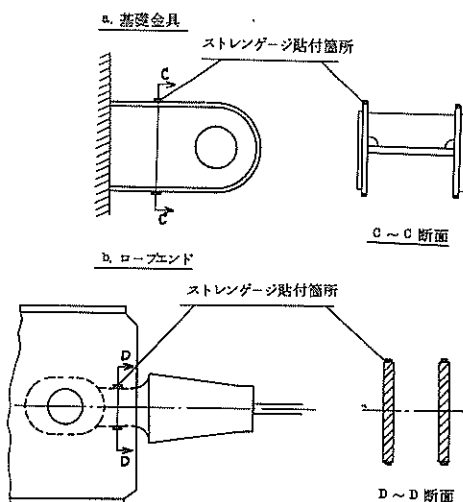


図-4 進水力測定箇所

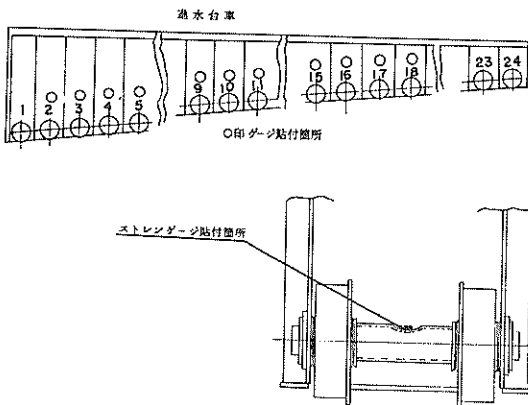


図-5 車軸応力測定箇所

4. 試験結果

4.1 横引力測定結果

横引力はトラバーサの摩擦抵抗によって決ってくるが、ケーソン横引や進水のようにロープ等を介して移動させる場合はロープの伸びによるバネ作用等により、ロープ一定スピードを巻取った場合でも波打ち現象として現われる。すなわち、このケーソン横引時においてもケーソン側とポスト間のロープが自重を持つバネとして作用し、ケーソン移動中に加速度を生じせしめる。したがって横引力は一定スピードで移動する際の摩擦抵抗に加速度によって生じた力を増減した波形になる。この波形になる原因としては静止摩擦と動摩擦の違いによって起ることも考えられるが、図-6に測定記録例を示す。

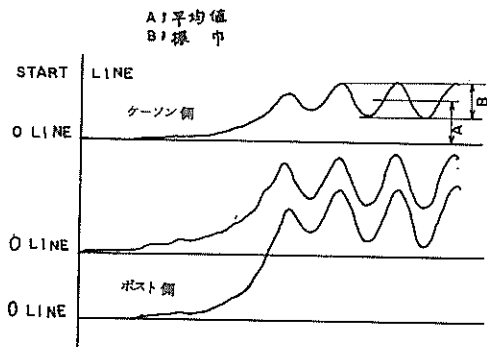


図-6 横引力測定記録

しかしながら、横引時のウインチモーター容量、ロープ径についての設計、また製作されたものについての安全性にとっては最大値が最も必要となることから、測定記録の

解析にあたっては振幅の値と平均的な荷重としての振幅の平均値について調べる。

図-7、8に横引力の測定結果を示す。図にはポスト側で測定した振幅、平均値、ケーソン側平均値および振幅の周期を示す。

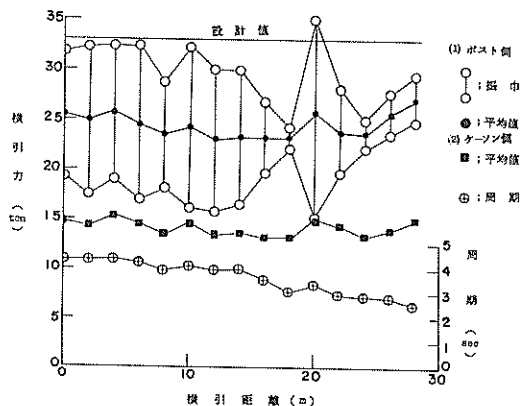


図-7 横引力測定結果

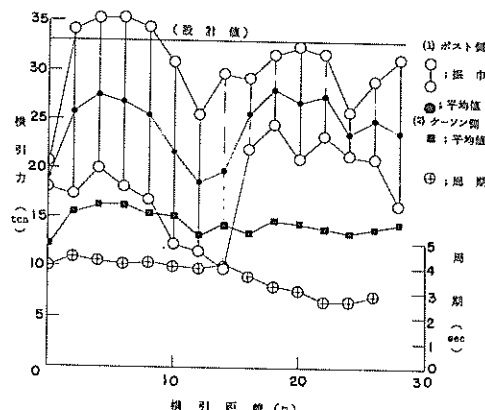


図-8 横引力測定結果

この二つの測定結果を見ると同じ横引力を測定しているにもかかわらず異った値を示している。これは両側部のゲージ貼付箇所の応力分布が等分布とはなっておらず、たとえばポスト側のゲージ貼付箇所の横引状態における荷重を加えた場合の光弾性試験結果は図-9に示すようになっていた。ケーソン側については全体形状が複雑のため光弾性試験は行ってないが、同様に等分布状態ではなかったであろう。

この光弾性の試験結果によればポスト側のゲージ貼付部には等分布応力の2倍の応力の値であり、したがってボス

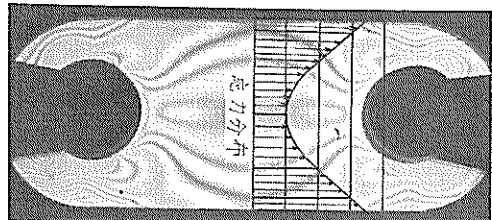


図-9 ポスト側応力分布

ト側の測定結果も作用する荷重の2倍の値を測定したことになる。ケーソン側についてはポスト側の結果から推定して反対に多少小さな値が測定されていたと考えられる。そこで今回の横引力の測定結果はポスト側の結果 $\frac{1}{2}$ にした図-7、8の値を採用することにした。これらの結果を見ると横引力はケーソン移動に伴って変化し、特に振幅は複雑に変化する。これはレール面も細部について見れば水平な状態でなく、ケーソン重量の加った時には微かな傾斜も起ったり、トラバーサの摩擦抵抗変化等によって起るであろう。しかしながら横引力の中間の値だけについては大略 25ton 前後をもって変化している。またこれらの応力測定とは別にウインチモータの電流計の読み取りから、設計時の機械効率によってウインチ荷重を計算すると 30ton になっていた。このウインチ荷重も途中のシーブ等の摩擦を考慮すれば 25ton 付近の横引力となり、これら二つの測定結果から横引力は平均的には 25ton 前後の力であり、それに加速度等の影響を加えると上下 10ton ぐらいう幅で変動している。またこの横引力における振幅はかなり大きく、最大のもので 20ton 近くの間を変動するものもある。したがってこのような横引力の算定に当ってはこの振幅の値も考慮することが必要であろう。

ここでこのケーソンヤードにおける横引力の設計に際しての計算式、諸係数値は次のとおりであり、この計算式による今回の 1640ton ケーソン重量による横引力を図-7、8の実線で示す。

$$T = \left[f_1(\bar{W}_1 + \bar{W}_2) + f_2(\bar{W}_1 + \bar{W}_2 + \bar{W}_3) \right] + k(\bar{W}_1 + \bar{W}_2)$$

$$+ k(\bar{W}_1 + \bar{W}_2 + \bar{W}_3) \} (1 + s)$$

ここで T : 横引力 \bar{W}_2 : クレードル重量

\bar{W}_1 : ケーソン重量 \bar{W}_3 : トラバーサ重量

d : トラバーサこころ径

f_1 : クレードルとトラバーサ間の転り摩擦係数
(0.05)

f_2 : レールとトラバーサ間の転り摩擦係数(0.05)

k : 付加抵抗 ($5\text{kg}/\text{t}$)

s : 安全側として 25%増

これらの設計計算式または図-7、8の実線で示す計算結果と測定値を比較した場合、測定値横引張力の平均の値は設計計算式上において安全係数を見込まなかった値に大略等しくなることから、諸抵抗係数は設計値に近いものであろう。しかし横引ロープ強度、ウインチモータ容量の設計に当っては振幅の大きさを考慮することが良いだろう。

4.2 進水力測定結果

進水力の測定はケーランを勾配 $1/10$ の斜路を進水台車によって引降す時の張力の測定であり、その時の進水力はケーラン重量と台車重量の合計の降下分力、進水状態の台車車輪の転り、車軸の捻り両抵抗力、また横引張力と同様ロープ伸びによる加速度現象による力を合計したものとなる。すなわち進水力も振動するが、この場合の振幅は横引張力の場合と比較すると後に述べるようにそれほど大きくなく、まずアンカレッジ部とロープエンド部で測定した進水力も振動するが、この場合の振幅は横引張力の場合と比較すると後に述べるようにそれほど大きくはない。アンカレッジ部とロープエンド部で測定した進水力の平均値を図-10に示す。

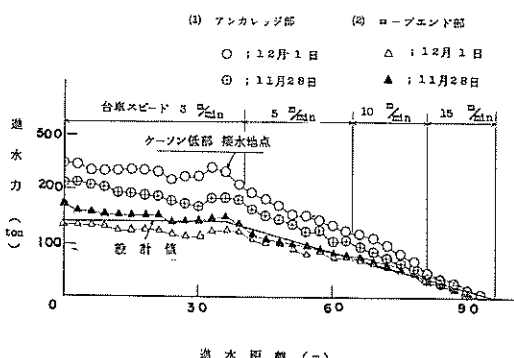


図-10 進水力測定結果

この測定結果も横引張力測定結果と同様二つの測定箇所の結果は異っているが、これもゲージ貼付部の応力分布の複雑さによるものであろう。しかしながらロープエンドのゲージ貼付金具は図-4に示すように断面の変化部が円弧をもって製作されていることから比較的等分布応力になりやすいため、ロープエンドの測定値を進水力の測定結果とする。なお、アンカレッジ部は横引張力測定におけるポスト側の形状に類似することから、多少大きな値となって計測されていたと考える。

この測定結果の進水力と設計進水力を比較した場合、計算式は後に示すが、1640 ton ケーラン重量の場合は図-

10 の実線となり良く一致していることがわかる。測定値は水際付近で少し高くなる傾向を示しているが、これはその付近のレール基礎状態が変化していることによると考えられる。なお、図中の設計値を示す実線の水中部分は、浮力を考慮し、その値を差引いた。

次に横引張力には大きな値となった振幅は、進水力においては図-11、12に示すようになる。

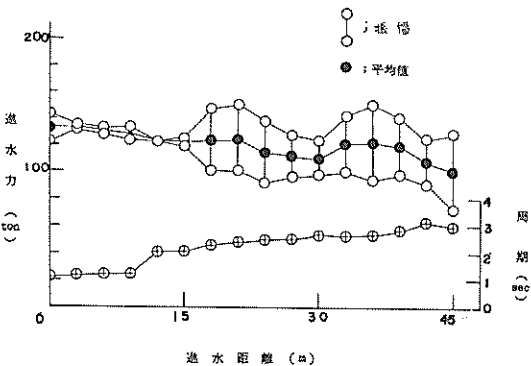


図-11 進水力振幅

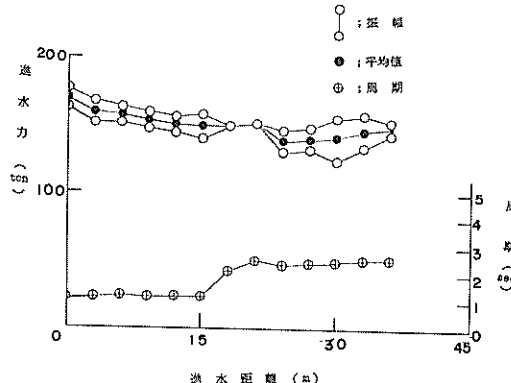


図-12 進水力振幅

図には進水距離 40m 以後については進水力の絶対値そのものが減少することから省略したが、進水力においてはケーランおよび台車重量の降下分力、また、横引トラバーサの抵抗力に比べて進水台車の場合はより抵抗による抵抗力増加等によりそれほど大きな値とはならなかった。この測定結果から見れば振幅は振幅の平均値に対して最大のものでも上下 20% くらいである。この振幅の大きさについてはそのときどきの状態によって左右される面が多く、進水力、横引張力においても一定の傾向を示さなかった。

しかしながら進水力についての振幅は今回の測定結果からではそれほど考慮する必要なく、大略台車輪、車軸の抵

抗によって計算しても良いだろう。

次に小名浜港第2ケーンヤードの進水力設計計算式および諸抵抗値を示すと次のとおりである。図-13を参照して進水力は、

$$F = F_1 - F_2$$

ここで F : 進水力 F_2 : 抵抗力
 F_1 : 降下分力

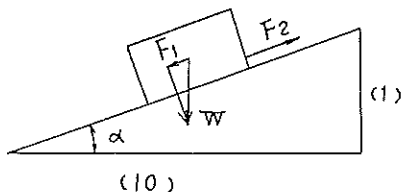


図-13 進水時模図

によって計算され、抵抗力 (F_2) は次によっている。

$$F_2 = \frac{W}{D/2} (\mu \frac{d}{2} + f)(I - S)$$

ここに W : ケーン重量+台車重量

D : 車輪径

d : 車軸径

μ : 車軸により摩擦係数 (0.1)

f : 転り摩擦係数 (0.05)

S : 安全側として (0.25)

4.3 進水台車車軸応力測定

進水台車の車軸に加わる応力は斜路の状態、台車製作上の精度により異なるが、測定台車の車輪 (96個) に等しく作用するとした場合、1640tonケーン重量に対し車輪1個あたり17.1tonの荷重が加わり、車軸応力を2点支持の曲げモーメントにより計算すると 887 kg/cm^2 である。しかしながら実際には車輪に均一に加わることではなく、少數の車軸に過大の応力状態になることがある。それゆえ設計に際しては十分な安全率を見込んでもなお危険な状態におちいることもあろう。この車軸応力測定は上記のことなどを考慮してなるべく数多くの車軸について測定することが良いが、測定計器等の制限もあり今回は前記のごとく片側10本の車軸について測定した。車軸応力は当然なこ

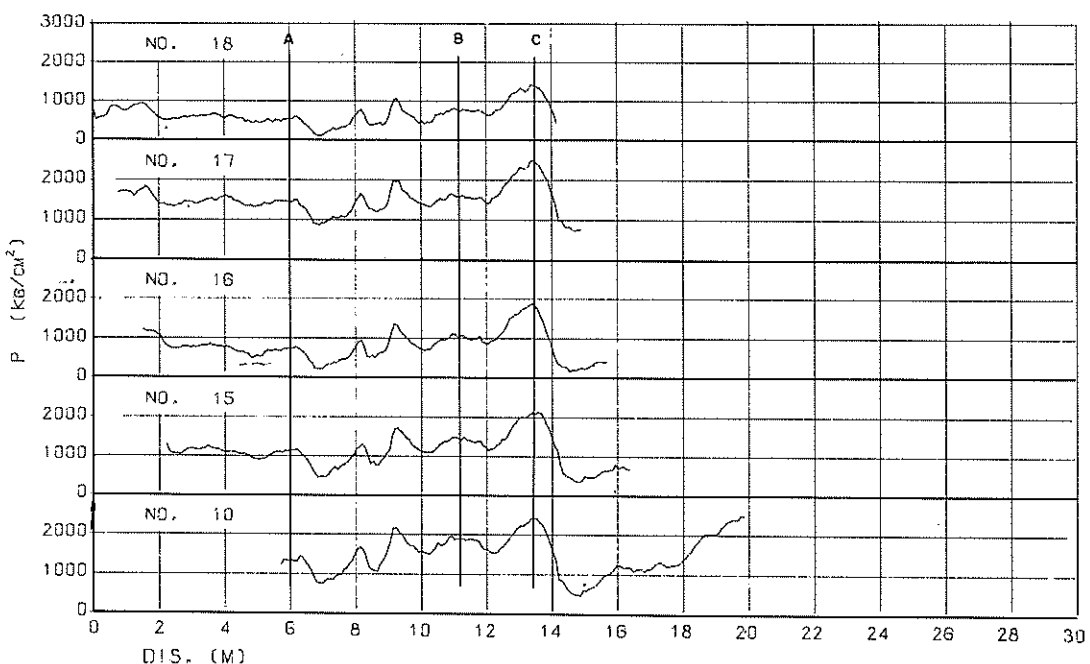


図-14 車軸応力測定結果

とながら台車移動に従って変化し、その変化はレールの支持状態の変化によって起るであろう、そこで図上で車軸間距離を図上で移動し、進水斜路上の同一地点を各車軸が通過する際の応力状態を示したものが図-14、15、16である。この測定は台車自重の作用している状態を基点として測定し、測定点数は水中部に入った時の防水加工の不備のため少なくなっている。

図-14、15は陸上部、図-16は水中部を含めて示しているが、この結果によれば車軸応力変化は全くレールの基礎の状態によって起ることがわかる。

次に応力の絶対値は台車製作上の誤差範囲もあり、その取付状態によって大略決まると考えられ、台車のどの位置

で最大になるかはわからなかった。しかし図-14、15、16において各車軸の変化の比、たとえば図-14においてA点とB、C点の車軸応力比が大略等しいことから、車軸取付上の傾度がわかり、常に最大荷重を受ける車軸もわかるであろう。今回車軸応力の最大値は 3000 kg/cm^2 以上の値があり、特に進水開始から 30 m 地点の水際付近で顕著である。この車軸の許容応力は 1900 kg/cm^2 であり、この値以上の車軸、地点が台車移動に伴ってかなりあることは、レールの基礎について今後さらに検討していくことが必要であろう。

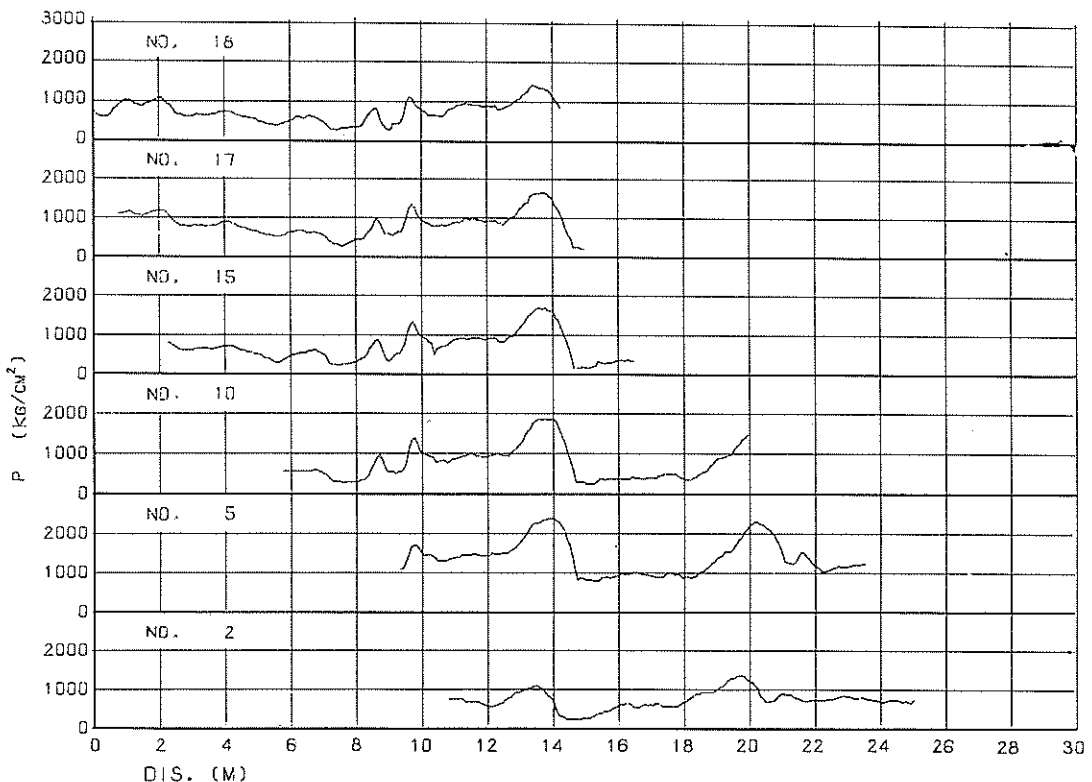


図-15 車軸応力測定結果

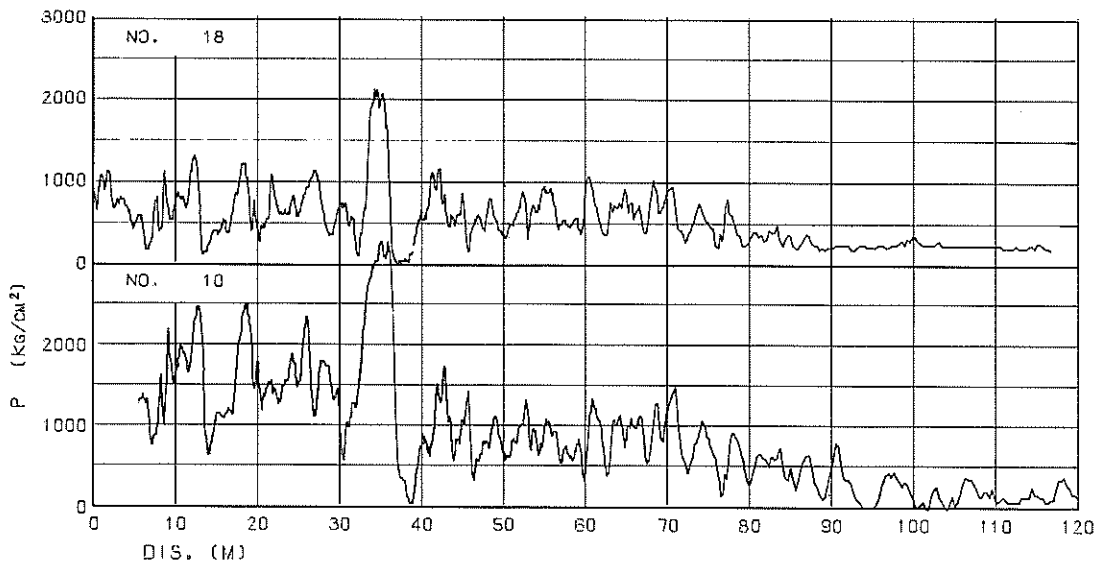


図-16 車軸応力測定結果

4.4 衝撃音について

今回の測定は以上の横引、進水力、台車車軸応力について行ったものだったが、進水時の測定に際して台車に何回かの衝撃音が発生し、場所によってはかなり強く、台車上部では動搖が激しかった。衝撃の性格からいって台車の一部に亀裂等の入る危険もあり、また今後のためにも原因を明らかにし、対策を講ずる必要があろう。そこでここでは進水時の測定記録中に現われた衝撃による変化から性格的なこと、およびその後の調査結果を述べるとともに車軸応力に対する影響を調べてみた。

まず衝撃の間隔は図-17に示すとおりであった。この間隔は大略 7.0 cm 近辺にあり、車軸間距離 (7.0 cm or 8.0 cm) に一致しているようにも考えられる。また進水力の記録には図-18に示すように減少する方向に現れ、この原因が台車が一時停止状態になるのか、衝撃波によるかはこの記録だけからではわからなかった。

以上、今回の衝撃発生原因の性格的なものを述べたが、衝撃間隔にしても定まったものではなく、これらのことによつて原因をつきとめることは困難であろう。しかし基本的には斜路レールと車輪の当りの変化で起ると考えられる。すなわち台車車輪がレールの継目に落込む場合、高い部分に乗上する場合、またこの台車のように多数の車輪で支持さ

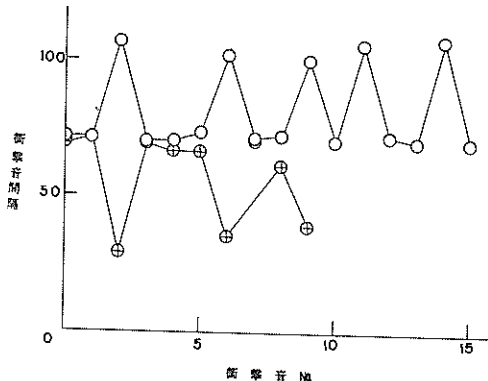


図-17 衝撃音周期

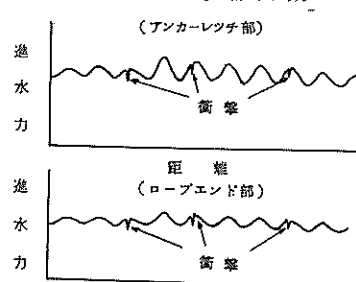


図-18 衝撃による進水力変化

れている場合は左右レールの高低差の不安定さによっても起るであろう。しかし、これらの原因はケーンの重量が実際にかかった状態でのものであり、その測定は困難である。

この外にも車輪とレールの当たりを悪くするものとしては車軸がレールに対して傾斜している場合が考えられる。この場合、傾斜している車軸の車輪が斜め方向に進み、その結果ある限度でフレームの強度によるか、車輪のフランジ部とレール側面で押戻される。この際に衝撃が発生し、今回の衝撃の発生の原因の一つと考えられる。

その後の調査によるこの進水台車の車軸の傾斜の測定方法と測定結果を図-19と表-2に示す。この測定結果に

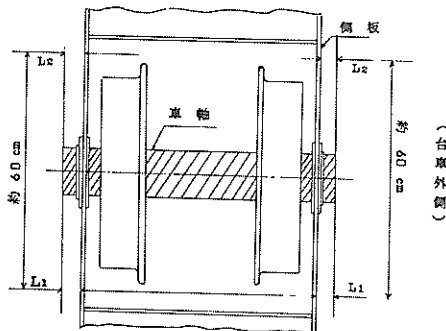


図-19 車軸傾斜測定方法

表-2 車軸取付測定結果

右側車軸

車軸 No.	台車外側		台車内側		車軸 No.	台車外側		台車内側	
	L ₁	L ₂	L ₁	L ₂		L ₁	L ₂	L ₁	L ₂
1	63cm	59cm	59cm	62cm	13	62cm	55cm	-	-
2	64	59	56	61	14	60	56	-	-
3	62	59	57	61	15	61	56	58	62
4	62	57	57	62	16	62	58	58	61
5	63	58	56	62	17	57	58	-	-
6	61	56	58	65	18	59	59	-	-
7	61	56	-	-	19	58	57	-	-
8	61	58	-	-	20	58	59	-	-
9	64	57	57	61	21	58	57	61	61
10	61	56	56	61	22	57	59	61	59
11	61	57	0	0	23	58	58	0	0
12	60	56	0	0	24	58	63	0	0

左側車軸

(- : 測定不可能箇所)

車軸 No.	台車外側		台車内側		車軸 No.	台車外側		台車内側	
	L ₁	L ₂	L ₁	L ₂		L ₁	L ₂	L ₁	L ₂
1	61	57	59	63	13	58	58	-	-
2	58	58	60	62	14	61	58	-	-
3	62	60	57	60	15	61	58	59	60
4	60	57	58	64	16	60	59	59	60
5	61	60	59	60	17	61	58	-	-
6	61	60	58	59	18	60	55	-	-
7	59	57	-	-	19	61	57	-	-
8	60	59	-	-	20	60	57	-	-
9	59	58	58	61	21	60	56	59	60
10	60	57	59	60	22	60	60	59	60
11	61	56	-	-	23	60	59	-	-
12	60	56	-	-	24	63	59	-	-

よれば進行方向に向って右側の車軸が上部(陸側)から16番目まで連続して4~7m/60mの範囲で傾斜していることがわかる。このような車軸の傾斜による原因と類似したものとして横引時にトラバーサが傾斜して設置した場合、同様な衝撃の発生が他のケーンヤードで報告され、今回の衝撃の発生の最も大きな原因と考えられる。しかし今後において台車側板のレールに対する平行度、車軸の長手方向と端面の直角度について調べることが必要であろう。この衝撃による台車の危険箇所、危険度は発生原因によって異なるが、今回測定した車軸応力には図-20に示すように現れていた。すなわち車軸応力には強く影響を受ける

くなる。

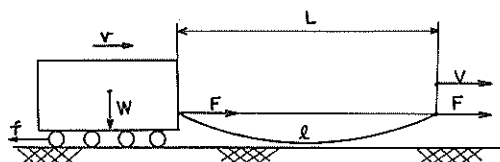


図-21 横引時模図

この時の運動方程式は次のようにある。

$$F = \frac{W}{g} \ddot{x} + f \quad \dots \dots \dots (1)$$

ここで W : ケーン重量

g : 重力の加速度

\ddot{x} : ケーン移動加速度

f : トラバーサ転り抵抗力

F : 横引力

すなわち横引力は加速度による力にトラバーサ転り抵抗力を加えたものになる。一方自重を持つロープを両端で水平方向に引張る時の釣合式は、ロープ端の垂直方向力 $\neq 0$ として次のようにある。

$$P = \frac{q \cdot L}{24(\frac{\ell+\lambda}{L}-1)} \quad \dots \dots \dots (2)$$

ここで P : 水平方向張力

L : ロープ間隔

q : ロープ単位長さ間隔

ℓ : ロープの長さ

λ : ロープの伸び

また一般にロープの伸びはロープの継弾性係数をもって次のように現わされる。

$$\lambda = \frac{D}{A \cdot E} \cdot \ell \quad \dots \dots \dots (3)$$

ここで E : ロープ継弾性係数

A : ロープ実断面積

この(3)式を(2)式に代入し、 $P \equiv F$ として初期条件を与えて(1)式を解けば横引力が得られるわけである。

しかしながらこの解法は(2)、(3)式から水平張力は3次式になり、またロープ長が時間とともに変化することから一般的な解法はむずかしく、電子計算機によった。

今回の横引力の測定結果を参考に、すなわち振動している横引力の平均値を抵抗として、 $t=0$ のとき $v=0$ また $v \geq 0$ としてロープ間隔 3.5 m のときの計算結果と測定

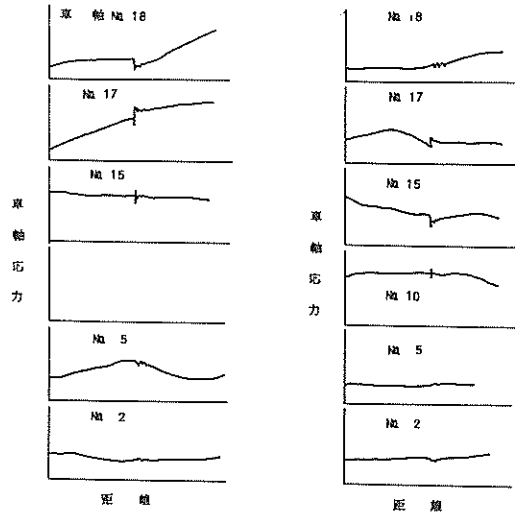


図-20 衝撃による車軸応力変化

ものとそれほどでもない車軸があるが最大の衝撃応力は約 1000 kg/cm^2 以上のもも見られ、それ以前にケーン重量によって応力が大きな値となっている場合は危険であろう。

現在の段階では今回の衝撃発生原因ははっきりつかめず、今後さらに詳しい調査が必要であろう。

5. 横引力理論計算

横引力の測定結果横引は振幅が大きく、設計時の計算にあたっては平均の力だけではなくこの最大値を考慮することが必要であろう。この振動する原因としてはロープのバネ作用、またトラバーサの静止摩擦と転り摩擦抵抗の違い等によるものと考えられる。そしてこの振幅および周期はロープ継弾性係数、ロープ間隔、ケーン重量、移動速度、トラバーサ摩擦抵抗等によって決まる。これらの関係を調べるために、横引時の状態を模図すると図-21に示すと

結果を示したもの図-22である。

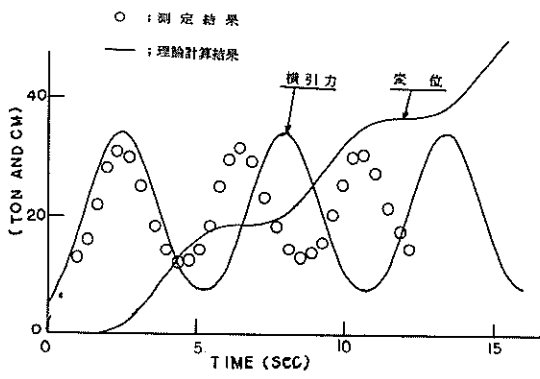


図-22 理論計算結果

この結果は横引力そのものは比較的一致しているが、しかしロープ間隔の短かい場合は計算結果と測定結果は異っている。これは(1)式の解法にあたって次の仮定をしたことによると思われる。

(1) 横引力の振動はロープの伸びによって起る。

(2) 摩擦抵抗は一定

(3) ウインチモータの巻取りスピードは変化しない。

上記仮定のうち(1)は(2)の仮定とも関連したものであり、横引力が振動するのはロープの伸びの外にトラバーサの転り摩擦が静から動に移った場合の抵抗変化によっても起ると考えられる。しかし転り摩擦を一般的に現わす方法はなく、静止と動摩擦係数についても、両者の限界についてはっきりわからずこの場合は一定とした。またウインチモータのトルク特性も横引力の振動によって変わってくると考えられるが、この設備のウインチモータについてわからず考慮できなかった。しかしあるトルク特性を与えて計算した場合は、測定値に一致する傾向にある。いずれにしても上記の仮定したことについてさらに検討することや、実際の運転状況や速度変動を把握することが必要であろう。しかしここでは今後の参考資料、また大略の目安としてロープ間隔、ケーン移動速度、ロープ線弹性係の変化した場合の横引力の変化を調べてみる。図-23、24、25に計算結果を示す。

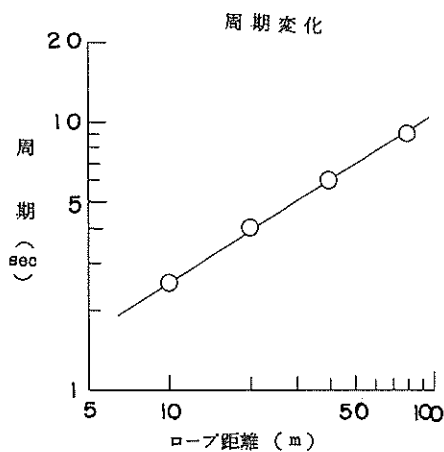
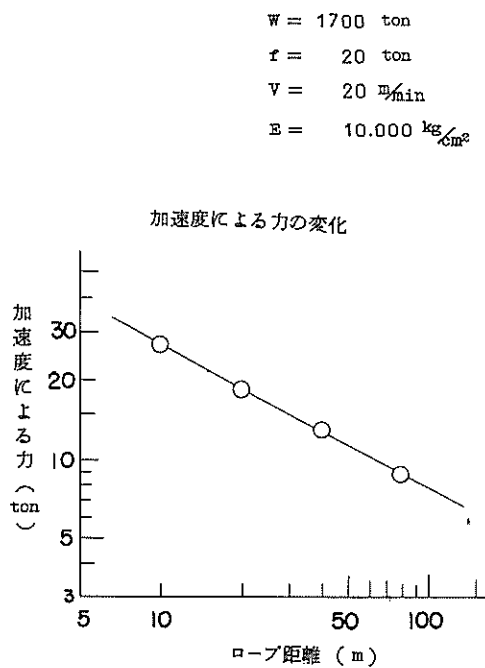


図-23 ロープ間隔による影響

$W = 1700 \text{ ton}$
 $f = 20 \text{ ton}$
 $L = 40 \text{ m}$
 $E = 10,000 \text{ kg/cm}^2$

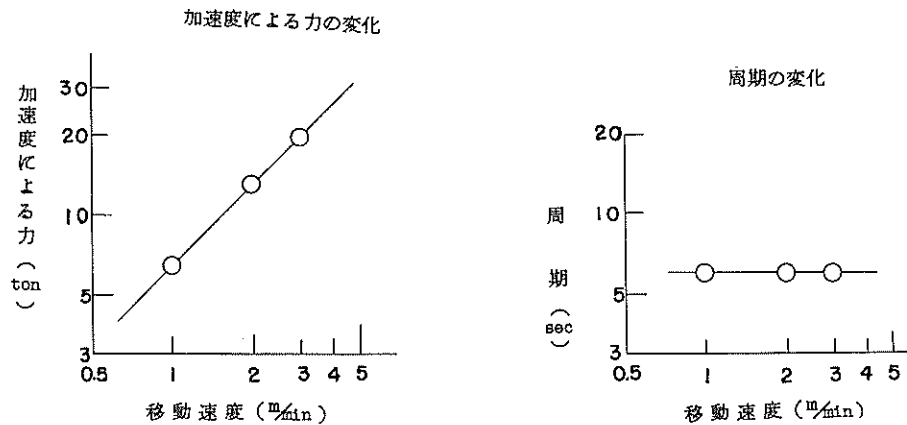


図-24 移動速度による影響

$W = 1700 \text{ ton}$
 $f = 20 \text{ ton}$
 $L = 40 \text{ m}$
 $V = 2.0 \text{ m/min}$

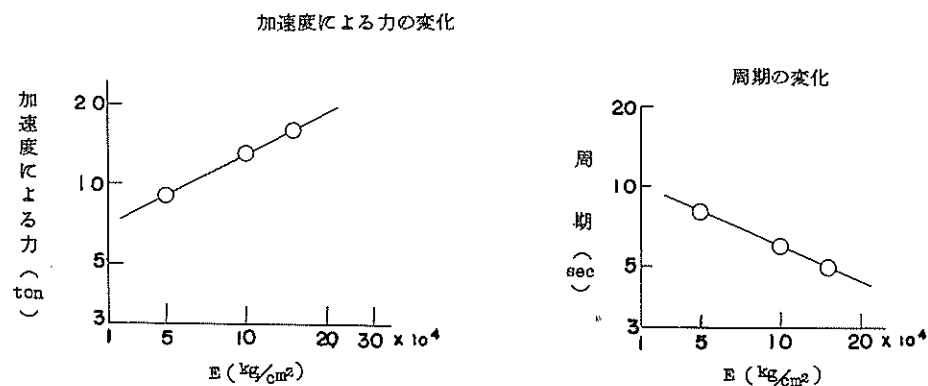


図-25 ロープ総弾性係数による影響

6. あとがき

以上、小名浜港第2ケーンヤードの機械設備についての現地試験結果を述べた。この試験の結果次のことがわかった。

(1) 横引力測定結果

横引時の垂直荷重は約 1750 ton (ケーン+クレーダル+トラバーサ) になり、その時の横引力の平均値は約 25 ton 前後であった。

(2) 進水力測定結果

斜路進水時における垂直荷重約 1740 ton (ケーン+台車) のとき、陸上部分の進水力は約 140 ton 前後である。

(3) 車軸応力測定結果

車軸応力の最大値は水際付近で起り約 3000 kg/cm² 以上

の応力がある。また車軸応力は斜路レールの基礎の状態によって変化する。

(4) 横引力の理論計算結果

横引時における移動スピード、ロープ継弾性係数、ロープ間隔の変化に対して、横引力の加速度の影響が傾向的に解った。

このような調査は他のケーンヤードについても行い、そのデータを集積していくことが必要であるが、今後の機会においてはさらに詳しく検討していく予定である。今回の調査は小名浜港工事事務所の協力を得て行なわれ、ここに厚く感謝の意を表する次第である。

参考文献

- 1) 小名浜港ケーンヤード機械設備完成図書

港湾技研資料 No. 121

1971・6

編集兼発行人 運輸省港湾技術研究所

発 行 所 運輸省港湾技術研究所
横須賀市長瀬3丁目1番1号

印 刷 所 株式会社 東京プリント
東京都港区西新橋3-24-9 飯田ビル

Published by the Port and Harbour Research Institute
Nagase, Yokosuka, Japan.